

大阪市立大学 正員 倉田宗章
 大阪工業大学 正員 岡村宏一
 大阪市立大学 正員 谷平勉
 大阪設計コンサルタントKK 正員○進藤泰男

1) まえがき PC板橋のプレストレスによる応力については、ケーブルの配置、形状に応じ板としての特性を考慮した解析が必要であるが、この点に関して現在のところ設計工の知見が乏しいようである。われわれは既にPC板構造の解析に関する若干の報告を行なった。^{[1][2]} 本文では、設計工の1つの問題として、連続PC床板橋がその中间支承部に於いて橋軸に対して斜めの筋配置を持つ場合特にこの部分における応力特性について述べる。この型式の橋の端部は斜又は直であるが、本文の主題についてはこの境界条件は重要ではない。こゝでは直の支持辺として解析を行なう。

2) PC板の基礎方程式 基礎理論については前文^[1]で詳述したからここでは簡単に触れる。

i) 緊張力による板の曲げに対する基礎方程式は、

$$\frac{\partial^4 w}{\partial x^4} + 2 \frac{\partial^4 w}{\partial x^2 \partial y^2} + \frac{\partial^4 w}{\partial y^4} = - \left[P_x \frac{\partial^2 h_x}{\partial x^2} + 2 \frac{\partial h_y}{\partial x} \frac{\partial P_x}{\partial x} + \frac{\partial^2 P_x}{\partial x^2} h_x \right] - \left[P_y \frac{\partial^2 h_y}{\partial y^2} + 2 \frac{\partial h_y}{\partial y} \frac{\partial P_y}{\partial y} + \frac{\partial^2 P_y}{\partial y^2} h_y \right]$$

ここで P_x, P_y は夫々 x, y 方向の緊張力、 h_x, h_y は中立面よりケーブル軸までの偏心距離である。

ii) 緊張力による板の Scheibe action に対する基礎方程式は、

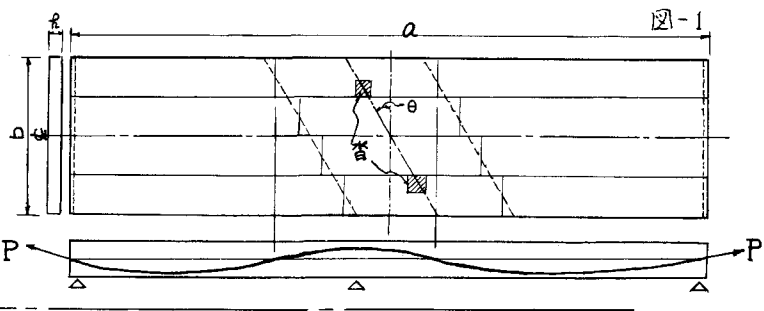
$$\frac{\partial^4 \phi}{\partial x^4} + 2 \frac{\partial^4 \phi}{\partial x^2 \partial y^2} + \frac{\partial^4 \phi}{\partial y^4} = \frac{1}{2} \left[\frac{\partial^2}{\partial y^2} \left\{ \frac{\partial P_x}{\partial x} dx \right\} + \frac{\partial^2}{\partial x^2} \left\{ \frac{\partial P_y}{\partial y} dy \right\} - \nu \left(\frac{\partial^2 P_x}{\partial x^2} + \frac{\partial^2 P_y}{\partial y^2} \right) \right]$$

これらの式に於いて、今シースヒケーブルの両のまきを無視すると、緊張力は一定となり、曲げの場合の右辺荷重項は [] 内のオイ項のみとなり、 Scheibe の式では右辺は 0 となる。

iii) ヒケーブル締結部における力は、緊張力 P がただけ偏心して締結された場合には、 $M = Pe$ なるモーメントあるヒケーブル曲率が板に与える力の反力として締結部に働く垂直方向力 V が曲げの境界条件として考慮される。又ヒケーブルと板面のなす角は僅少とみなし、緊張力 P をそのまま面内力と考え、 Scheibe の境界条件として考える。

3) 斜めの筋を有する連続板

ここで取扱う連続板については板全体としてのスパン長: a が板幅: b に比べて大きく、又特に筋周辺の応力状態を調べる場合には、軸力はほとんど均等に P に分配され、2次元的考察の必要



(1) 倉田、岡村、谷平：連続プレストレス板の解析（土木学会 S.43.10）

(2) 倉田、岡村、谷平、堀川：プレストレス斜め板の解析（土木学会関西支部 S.44.5）

ははいと考えらる。ケーブルの曲率 α が一定であれば、 $\gamma = P\alpha$ が一定となり、図-1に示す如く、部分等分布荷重が作用するときの板の解法に帰着する。

4) 計算例 構造物の概要是図-1に示す。ケーブルの反曲点位置は理論により求めた。又その配置は図に示す如く背の斜角に合わせて。そのためケーブルの曲率が橋軸中心線からの位置により変化するが、計算の便宜上4つのブロックに分割し、その間では曲率は一定とみなして。以下に計算に用いた構造諸元を示す。 $a = 40\text{m}$, $b = 10\text{m}$, $h = 60\text{cm}$ ホアソン比: $\nu = 0.2$, 背: 500×500 。緊張力 P は床板単位当たりとする。

5) 計算結果 種々のdataにつき計算を行ったが、その結果をモーメント分布図によつて比較検討してみる。図-2, 3は、等分布荷重を満載した場合の M_x , M_y 分布図(背斜角: 30°)、図-4, 5、図-6, 7はケーブルに緊張力を与えた場合の M_x , M_y 分布図(背斜角はそれそれ 30° , 0° である)。図-8は各Caseにおける支承線上、中央横断面位置の M_x , M_y 分布図である。図より等分布荷重載荷時には支承附近の応力の変化は著しいが、プレストレスによる局部応力の集中現象はみられない。又最大応力は支承線上によりむしろ中央線上に発生している。

6) 考察 前述のように死荷重(等分布荷重)の応力分布とプレストレスのそれが支承部附近で差異をもつてはるのは設計等分布荷重満載時 M_x , M_y 分布図上留意すべきことと思われる。活荷重に対するこの傾向は更に強まろう。背の配置の変化等によるdataについては講演時に機会があれば発表したい。

等分布荷重満載時の M_x 分布図 ($\theta = 30^\circ$)

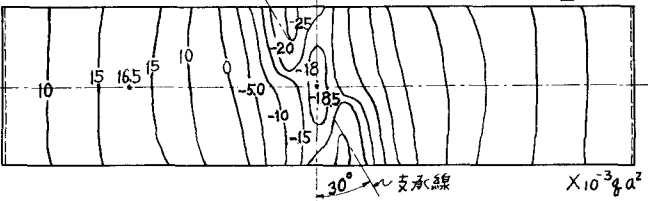


図-2

等分布荷重満載時の M_y 分布図 ($\theta = 30^\circ$)

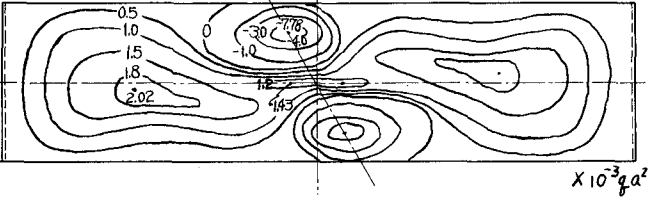


図-3

PS緊張力による M_x 分布図 ($\theta = 0^\circ$)

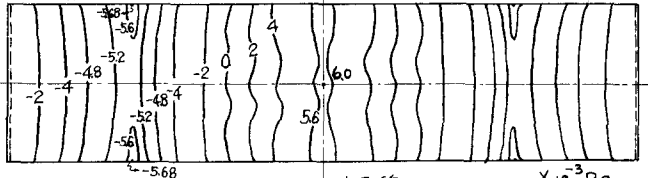


図-4

PS緊張力による M_y 分布図

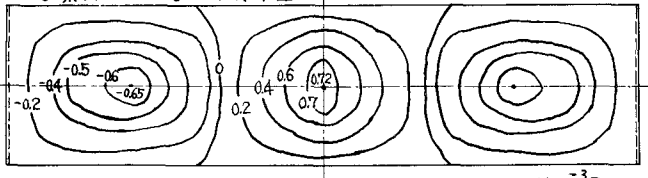


図-5

PS緊張力による M_x 分布図 ($\theta = 30^\circ$)

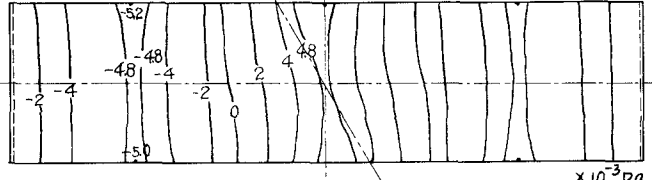


図-6

PS緊張力による M_y 分布図 ($\theta = 30^\circ$)

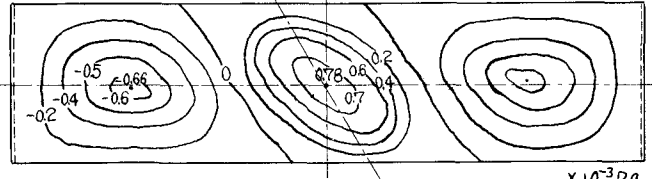


図-7

PC緊張作用時 M_x , M_y 分布図

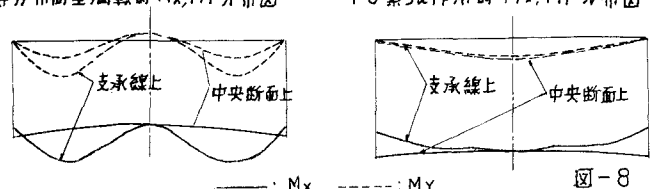


図-8